



خواص خود تمیز شوندگی و انرژی آزاد سطح پوشش‌های نانوکامپوزیت اتیلن وینیل استات تقویت شده با نانوذرات سیلیکا

مهدي حسن زاده^۱, مهدى کاروان^{۲*}, احمد رضا پيشه ور^۳

-1- کارشناسی ارشد، مهندسی مکانیک، دانشگاه صنعتی اصفهان، اصفهان

-2- استادیار، مهندسی مکانیک، دانشگاه صنعتی اصفهان، اصفهان

-3- استاد، مهندسی مکانیک، دانشگاه صنعتی اصفهان، اصفهان

* اصفهان، صندوق پستی 84156-83111 mkarevan@iut.ac.ir

چکیده

ایجاد پوشش‌ها با حداقل مؤلفه‌های مواد و مراحل تولید یکی از چالش‌های امروز در تهیه فیلم‌های نانوکامپوزیتی آب‌گریز است. هدف از این تحقیق تهیه پوشش نانوکامپوزیت پایه پلیمری آب‌گریز و بررسی ارتباط بین خواص آب‌گریزی، میکروساختار، درصد فاز افزودنی و انرژی آزاد سطح آن می‌باشد. بدین منظور، از نانوذرات سیلیکا اصلاح شده با هگزامتیل دی سیلان را به عنوان فاز افزودنی و اتیلن وینیل استات به عنوان زمینه و از تولوئن به عنوان حلال استفاده شد. غلظت پلیمر/حلال با غلظت ۰.۳٪ به عنوان غلظت بهینه برای تشکیل فیلم انتخاب شد. مقادیر ۱۰٪، ۲۰٪ و ۳۰٪ وزنی نانوذرات به محلول اضافه شد و از روش پاشش به دلیل یک مرحله‌ای بودن استفاده شد. نتایج نشان داد پوشش بر شده با ۳۰ درصد نانوسیلیکا دارای حفره‌ها با ساختاری متخلخل و شبکه‌ای بوده که موفق با پیش‌بینی مدل انرژی سطح کیسی-بکستر بود. پوشش‌های نانوکامپوزیتی با ۳۰٪ نانوسیلیکا منجر به زاویه تماس استاتیکی ۱۲۱ درجه با ۳۴٪ افزایش نسبت به سطح اتیلن وینیل استات خالص و زاویه غلتش ۸ درجه با ۹۰٪ کاهش نسبت به نمونه‌های ۱۰ درصد وزنی شدن. انرژی آزاد سطح از سه تئوری اوونز-وندت، فوکس و ون اویس بررسی شد که برخلاف تئوری ون اویس تئوری‌های فوکس و اوونز-وندت نشان دادند که با افزایش غلظت نانو مواد، جزء قطبی انرژی آزاد سطح پوشش کاهش یافته که مؤید افزایش زوایای تماس تخمین زده شده در این مطالعه بود.

دریافت: 1400/11/13

پذیرش: 1401/02/12

کلیدواژه‌ان

خود تمیز شوندگی، نانوسیلیکا، انرژی سطح، آب‌گریزی، پوشش نانوکامپوزیت

Self-Cleaning Properties and Free Surface Energy of Ethylene Vinyl Acetate (EVA) Nanocomposite Coatings Reinforced with Silica Nanoparticles

Mehdi Hasanzadeh¹, Mehdi Karevan^{1*}, Ahmad Reza Pishevar¹

1- Mechanical Engineering Department, Isfahan University of Technology, Isfahan, Iran.

* P.O.B. 8415683111 Isfahan, Iran, mkarevan@iut.ac.ir

Keywords

Self-cleaning, Nano silica, Surface energy, Hydrophobicity, Nanocomposite coating

Abstract

The preparation of coatings involving the least material components and fabrication route is one of the today's challenges in the development of hydrophobic nanocomposite films. This study aims at the fabrication of a hydrophobic polymer nanocomposite coating and the evaluation of the interplays amongst hydrophobicity, microstructure, fillers loading and free surface energy of the coatings. To achieve this, hexamethyldisilazane functionalized nano-silica as the filler and ethylene vinyl acetate (EVA) as the matrix were used. Toluene was used as the solvent. The concentration of 3% was employed as the optimized solvent ratio to create polymer film. The loadings of 10, 20 and 30 wt% of nanomaterials were added into the solvent followed by a spray technique due to its single step approach. The analyses showed the coating filled with 30 wt% of nano-silica resulted in a porous interconnected structure, in good agreement with the *Cassie-Baxter* surface energy model. The 30 wt% nano-silica nanocomposite coatings resulted in a static water angle of ~121° exhibiting a 34% increase with respect to that in the case of pure EVA and a sliding angle of 8° with 90% reduction compared to the 10 wt% filled coatings due to the high surface roughness. Three surface energy models of Fowkes, Owens-Wendt and Van Oss were employed through which, unlike the case of Van Oss model, the Fowkes and Owens-Wendt models exhibited that with the addition of fillers, the polar component of the free surface energy decreases confirming the increase in the estimated water angle contact.

Please cite this article using:

Hasanzadeh, M., Karevan, M., Pishevar, A. R., "Self-cleaning properties and free surface energy of ethylene vinyl acetate (EVA) nanocomposite coatings reinforced with silica nanoparticles", In Persian, Journal of Science and Technology of Composites, Vol. 8, No. 3, pp. 1726-1736, 2022.
https://doi.org/10.22068/JSTC.2022.547872.1769

برای ارجاع به مقاله از عبارت زیر استفاده کنید:

۱- مقدمه

بالا مؤثر می‌باشد. در همین راستا هارون و همکارانش سطوح شفاف و آب‌گریز با استفاده از ترالتوکسیلان^۵, فلورآلکیل سیلان، سیلیکا و گرافن اکساید، آب مقطر، هیدرولکریک اسید و اتانول ساختند. نتایج زاویه تماس زاویه تماس استاتیکی بالای 120 درجه را نشان می‌داد که به خاطر وجود نانوذرات سیلیکا و کربن بوده و با افزودن گرافن و سیلیکا پوشش‌ها متمایل به مات شدن داشتند [10]. نانوذرات سیلیکا به صورت گستردگی در توسعه پوشش‌های آب‌گریز و یا مواد اروٹی اعم از آب‌گریز یا آب‌دوست روی سطوح مختلف مورد استفاده قرار گرفته است، که به ویژه در تحقیقات اخیر با دیگر نانو/میکروماده با هدف ارائه خواص چندمنظوره نظری خواص آنتی باکتری با دیگر ذرات نظری گرافن، نیتانیوم دی‌اکسید و نانوذرات نقره ترکیب شده‌اند [11-14]. محمدزاده و همکاران در یک روش جدید نانوپوشش‌های سیلیکا را با استفاده از ترالتوکسی سیلان تهیه کردند که با تغییر در درصد اصلاح کننده‌ها زاویه تماس حدود 132 درجه را به دست آورده که تا مدتی 200 درجه سانتی گراد خواص خود را حفظ می‌کرد [15]. در تحقیقی دیگر شمس و همکاران روش سل-ژل را برای تهیه پوشش آب‌گریز بر پایه ترالتوکسی سیلان بر روی لایه شیشه استفاده کرده و اثر اکسید نقره بر روی خواص آب‌گریز را مورد مطالعه قرار دادند و به زاویه ماس 124 بدون اضافه کردن نانو اکسید دست یافتند [16]. در بسیاری از تحقیقات، اثر اصلاح کننده سطح به عنوان یک عامل کلیدی در راندمان آب‌گریزی مطرح شده است. داوراه و همکاران، ترکیب ترالتیل اورتولیکات به عنوان پیش‌ماده و اکتیل تری اتوکسی سیلان را به عنوان اصلاح کننده در روش ژل بر پایه سیلیکای سنتز مورد بررسی قرار دادند و به زاویه تماس آب حدود 141 درجه رسیدند [17].

انرژی سطح در رابطه مستقیم با کیفیت آب‌گریزی و خواص خود تمیزشوندگی یک پوشش است. بیشتر ثوری‌های انرژی سطحی با این وجود دارای خط‌هستند و انرژی آزاد سطح جامد یک مقدار دقیق نیست. در عوض، این مقدار وابسته به مایعات مورد استفاده در آزمایش زاویه تماس می‌باشد و این که کدام ثوری انرژی سطح برای تجزیه و تحلیل داده‌ها انتخاب می‌شود. در مدل ونzel، قطره آب کاملاً سطح زبر را تر می‌کند ناحیه تماس واقعی مایع-جامد زیر قطره، در سطح زبر بیشتر از سطح صاف است [18]. زمانی که انرژی فصل مشترک جامد-هوا بیشتر از جامد-مایع باشد، با ترشدن سطح زبر، انرژی سیستم کاهش بیشتری می‌یابد، پس سطح زبر با سرعت بیشتری، تر می‌شود. اما در حالتی که انرژی فصل مشترک جامد-مایع بیشتر از فصل مشترک جامد-هوا باشد، سطح به صورت ذاتی آب را پس می‌زنند و ترشوندگی سطح زبر در این حالت بسیار سخت است.

کیسی و بکستر^۶ در سال 1994 میلادی مدل ونzel را که برای سطوح با فصل مشترک همگن ارائه شده بود را برای یک سطح با فصل مشترک ناهمنگ شامل حباب هوای به دام افتاده بود را توسعه دادند. در این حالت اگر سطح، زبری با اندازه مناسب را داشته باشد قطره به صورت معلق روی این برآمدگی‌ها قرار می‌گیرد زیرا مایع به درون حفره‌ها نفوذ نکرده و با سطح جامد مستقیماً تماس ندارد. در مدل ونzel مایع به صورت کامل با آب در تماس است و در مدل کیسی-بکستر با برآمدگی‌های در مقیاس نانو در تماس است اما برخلاف این دو حالت در حالت اشباع کیسی قطره به صورت کامل در میان میکروزبری‌ها نفوذ می‌کند [19]. نتایج نشان می‌دهد در مدل اشباع کیسی آب به طور کامل

وبلهلم بارتلوت و تیم تحقیقاتی اش در سال 1937 اصول خود تمیز شوندگی را کشف کردند. موضوع سطوح خود تمیز شونده با مشاهده برگ نیلوفر آبی در طبیعت آغاز شد که این گیاه در اثر آب‌گریزی بسیار بالا دارای خواص خود تمیز شوندگی بود [1]. قابلیت تر شوندگی یکی از خصوصیات مهم سطوح جامد به شمار می‌رود و دو پارامتر توبوگرافی و ترکیب شیمیابی سطح بر آن اثربارند. پوشش‌هایی با قابلیت پخش کردن سریع قطرات آب بر روی سطح و تشکیل زاویه تماس کمتر از 5 درجه در مدت زمان کمتر از 0.5 ثانیه را پوشش‌های فوق آب‌دوست می‌نامند. سطوح آب‌گریز دارای زاویه تماس بالای 90 درجه و هیسترزیس زاویه تماس پایین هستند؛ این دو عامل باعث می‌شوند که قطرات آب تحت زاویه کوچکی بر روی سطح بلغزند و ذرات موجود روی سطح را در حین غلتش به خود جذب کنند که این پدیده اثر خود تمیز شوندگی را به دنبال خواهد داشت [2]. این سطوح به دلیل داشتن خواص خود تمیز شوندگی، از لحاظ فناوری، قابلیت بالایی برای کاربردهای مختلف دارند که به ویژه در توسعه منسوجات آب‌گریز و سطوح هوشمند امروزه بیشتر مورد توجه بوده است [3-5]. این سطوح، به دلیل دارا بودن ویژگی‌هایی از قبیل خواص خود تمیزشوندگی و مقاومت پایین در برابر جریان سیال در کاربردهای زیادی مانند شیشه‌های خود تمیز شونده، برای منازل، کشتی‌ها، پارچه‌ها و موادی که در آن‌ها احتیاج به کاهش بخزدگی توسط آب فوق سرد است استفاده می‌شوند. می‌توان گفت که یکی از بارزترین ویژگی‌های سطح مایع، تمايل آن‌ها به انقباض و جمع شدنگی به منظور کاهش سطح به پایین ترین مقدار ممکن و رسیدن به حداقل انرژی آزاد می‌باشد. مارتین و همکارانش برای اولین بار سطوح شفاف، مقاوم در برابر سایش^۷ و مافوق آب‌گریز^۸ را برای پلی متیل سیلولکسان^۹ با استفاده از روش ساده و مقیاس‌پذیر^{۱۰} ساختند. پلی متیل سیلولکسان شفاف است و برای مصارف پزشکی استفاده می‌شود و با استفاده از نانوذرات سیلیسیوم اکسید و رزین متیل فنیل پوشش داده شدند و بعد از چند آزمایش مشخص شد مقاومت به سایش بهبود یافته است [6]. فن لی و همکاران پوشش با استفاده از محلول اپوکسی و مواد با انرژی کم ساختند و به این نتیجه رسیدند که آب‌گریزی و انتقال نور به شدت، به غلظت اپوکسی و زبری سطح بستگی دارد و بالاترین غلظت اپوکسی که از خود بهترین زاویه تماس و انتقال نور رانشان می‌دهد، ۵٪ می‌باشد [7]. یائو و همکاران نانو کامپوزیت پلیمری منعطفی با استفاده از نانولوله‌های کربنی چند دیواره و نانوذرات کربوی سیلیکا^{۱۱} به وسیله روش اسپری ساختند و به این نتیجه رسیدند که با افزایش غلظت نانولوله‌ها آب‌گریزی افزایش و سپس کاهش می‌یابد.

افزایش زبری سطح و یا در بیشتر مواقع ایجاد زبری میکرو/نانو باعث افزایش آب‌گریزی می‌شود [8]. ونگ و همکاران تأثیر زبری ماکرو بر روی پخش آب، زاویه تماس پیش‌رو و پس‌رو و هیسترزیس را بررسی کردند و نشان دادند تا حد بهینه‌ای زبری بر روی زاویه تماس تأثیر بیشتری را دارد [9]. زبری همچنین موضوع حائز اهمیت در خصوص تغییرات در شفافیت پوشش است و ممکن است در عین حال پراکندگی نوری که روی سطح اتفاق می‌افتد را افزایش می‌دهد. برای کاهش این مسئله لازم است زبری سطح کمتر از طول موج نور باشد و ثابت شده است که زبری سطح باستانی کمتر از 100 نانومتر باشد تا از شدت پراکندگی نور بکاهد و همچنین در ساخت سطوح آب‌گریز با شفافیت

¹ Wear-resistant

² Superoleophobic

³ Polydimethylsiloxane (PDMS)

⁴ Scalable

سوی دیگر، پلیمر الاستومری ترموبلاستیک EVA با خواص الاستومری بالا و قابلیت فرآیند نسبتاً بالا در فرآیندهای ترکیب حلال در ساخت نانوکامپوزیت ها نسبت به دیگر پلیمرهای همپایه خود و یا دیگر پلیمرهای ترموبلاستیک دارای زمان حلایت پائین بوده و نیازمند به حلال های تجاری در دسترس حتی در گریدهای صنعتی است.

2-2- روش ساخت نانوکامپوزیت‌های اتیلن وینیل استات/نانوسیلیکا و پوشش‌دهی زیر سطح شیشه

ابتدا جهت بهینه‌سازی غلظت پلیمر محلول ۱، ۳ و ۵٪ اتیلن وینیل استات در حلال تولوئن تهیه و در دمای محیط بر روی همزن مغناطیسی به مدت ۴۵ دقیقه مخلوط شد. در نهایت غلظت ۰.۳٪ به عنوان غلظت بهینه به دلیل عدم رویت عیوب و تخلخل انتخاب شد. به منظور ایجاد یک لایه سطح و یکنواخت در این تحقیق از روش پاششی استفاده شد. در روش اسپری پارامترهای زیادی بر روی فیلم تشکیل شده تأثیرگذار هستند. یکی از این پارامترها فاصله‌ی پیستوله تا نمونه است. در این تحقیق، در مرحله اول پاشش با فشار باد ۴ بار و فاصله ۳۰ سانتی‌متر از سر نازل پیستوله تا سطح زیرسطح به عنوان شرایط استاندارد در نظر گرفته شد.

برای تهیه محلول‌های پلیمری با غلظت‌های مختلف نانو، محلول‌های پلیمری با درصدهای مختلف نانوسیلیکا به شرح زیر تهیه شدند. ابتدا درصد وزنی ۱٪ نانوذره نسبت به وزن خالص پلیمر به محلول افزوده شد. به منظور داشتن تفرق^۵ مناسب از التراسونیک به مدت ۱۵ دقیقه و در سه مرحله استفاده شد که به طور پیوسته در هر مرحله ۵ دقیقه محلول تحت التراسونیک قرار داده شد و سپس یک دقیقه استراحت به محلول داده شده و مجدداً التراسونیک اعمال گردید. پس از پاشش محلول بر روی زیرسطح و خشک شدن فیلم آب‌گریزی سطح با رفتار قطره آب بر روی سطح به روش تجربی مورد ارزیابی قرار گرفت. لازم به ذکر است قبل از اعمال پوشش سطح زیرسطح کاملاً با اتانول چربی زدایی و خشک شد. در این درصد، فیلم ایجاد شده از یک پوشش آب‌گریز فاصله زیادی داشت. لذا این فرایند با افزودن تدریجی درصد نانوذره و تکرار آزمون آب‌گریزی ادامه یافت. با ادامه این روند در درصدهای نانوذره ۰.۱۰٪ رفتارهای آب‌گریزی از پوشش به تدریج مشاهده شد و در درصد نانوذره ۰.۲۰٪ پوشش آب‌گریز و در ۰.۳۰٪ نانوذره رفتار ابرآب‌گریزی از پوشش مشاهده شده که کاملاً قطرات آب به صورت کروی از روی سطح پس زده می‌شد. اسامی نمونه‌ها در مشخص شده است. این نکته قابل ذکر است که پوشش‌ها با ۰.۴۰٪ به دلیل ساختار سطحی با عیوب قابل رویت مورد استفاده قرار نگرفت.

جدول ۱ نام‌گذاری اختصاری نمونه‌های ساخته شده

Table 1 The abbreviated name of the specimens

نام نمونه	شماره نمونه
EVA-Pure	۱
EVA-%10SiO ₂	۲
EVA-%20SiO ₂	۳
EVA-%30SiO ₂	۴

3-2- مدل های محاسبه انرژی آزاد سطح

انرژی آزاد سطحی یکی از مهم‌ترین کمیت‌های ترمودینامیکی است که حالت تعادل اتم‌ها را در لایه سطحی ماده توصیف می‌کند. این پارامتر عموماً برای خواص چسبندگی مورد استفاده قرار می‌گیرد و مقدار آن برای هر ماده مشخص است و می‌توان از این پارامتر برای مطالعات عددی استفاده کرد [۲۰]. از سوی

در بین میکروزبری‌ها و در میان نانوزبری‌ها به صورت کم نفوذ کرده و منجر به افزایش هیسترزیس زاویه تماس و افزایش زاویه غلتش شده است. اما در حالت کیسی-بکستر قطره در تماس با نانوزبری‌های است و به صورت کم در میکروزبری‌ها نفوذ کرده است و این مسئله موجب شده تا چسبندگی قطره به سطح کم شده و زاویه غلتش کاهش یابد. مطالعه تحقیقات گذشته با این وجود نشان می‌دهد سامانه‌های متفاوت پوشش دهی میکرو/نانوکامپوزیتی به منظور آب‌گریز نمودن زیرلایه‌های فلزی، شیشه‌ای و یا پلیمری مستلزم روش‌های چند مرحله و متعدد ساخت، استفاده از مواد فرار متعبد با نرخ خروجی ناچیز لایه آب‌گریز و مواد شیمیایی و افزودنی گران قیمت بوده که کاربرد این پوشش‌ها را در پوشش دهی سطح وسیع در مقیاس‌های فراتر از آزمایشگاهی محدود و یا غیرممکن می‌کند. در این تحقیق، نانوکامپوزیت‌های اتیلن وینیل استات^۱ پر شده با نانوذرات سیلیکا اصلاح شده با هگزامتیل دی سیلان از روش حلal با غلظت‌های ۰.۳٪ و ۰.۵٪ با حل پلیمر در تولوئن به عنوان حلal تهیه شده و غلظت ۰.۳٪ به عنوان غلظت بهینه برای تشکیل فیلم روی سطح شیشه در نظر گرفته شد. با هدف زاویه تماس استاتیکی بالا و زاویه غلتش پایین و همچنین مطالعه اثر افزودن نانوذرات سیلیکا بر روی خواص آب‌گریزی پوشش، درصدهای ۰/۱٪، ۰/۲٪ و ۰/۳٪ نانوذرات نسبت به وزن پلیمر مورد بررسی قرار گرفتند. از روش پاشش به دلیل تک مرحله‌ای بودن روش و تعیین آن در پوشش سطح بزرگ‌تر زیرلایه استفاده شد. مواد و روش ارائه شده در این تحقیق می‌تواند به دلیل مقرن به صرفه اقتصادی بودن پوشش به منظور پوشش دهی سطح شیشه‌ای با سطح گستردگی مورد استفاده قرار گرفته و در که بہتری از ارتباط بین خواص آب‌گریزی و انرژی سطح را در خصوص پوشش‌های نانوکامپوزیتی ارائه دهد.

2- مواد و روش تحقیق

1-2- مواد مورد استفاده در ساخت نانوکامپوزیت

رزین اتیلن وینیل استات ۰/۲۸٪ گرید VA910 از شرکت لاته کمیکال خریداری شد. این رزین به دلیل شفاف بودن، مقاومت در برابر اشعه فرابنفش و همچنین دو بلوكی بودن کوپلیمر و تفاوت قطبیت میان بلوك‌ها انتخاب شد، و همچنین از نانوذرات سیلیکا (SiO₂) شرکت فدک با متوسط اندازه ۲۰ الی ۳۰ نانومتر استفاده شد. حلal تولوئن از شرکت پتروشیمی اصفهان تهیه شد. جهت ایجاد پوشش پلیمری از زیرسطح با جنس الومینیوم استفاده شد. ورق فویل الومینیوم با ضخامت ۳۰۰ میکرون و خلوص ۹۹٪ از شرکت تیسن^۲ آلمان تهیه شد و در بعد ۵-۷ سانتی‌متر آمامده‌سازی شد. قبل از استفاده ورق‌ها باید با اتانول چربی زدایی و تمیز شوند. پوشش حاوی اتیلن وینیل استات به عنوان فاز بستر^۳، تولوئن به عنوان حلal، نانوذرات سیلیکا به عنوان عامل بهبود خواص آب‌گریزی بکار رفته است. هیچگونه اصلاحی بر روی مواد تهیه شده صورت نپذیرفته است. برای انتخاب حلal، آزمون حلایت اتیلن وینیل استات در حلال‌های تتراهیدروفوران، دی متیل فرم آمید، دی متیل سولفوکسید و تولوئن صنعتی گرفته شد. با توجه به حلایت اتیلن وینیل استات در تولوئن و قیمت بسیار پایین‌تر آن نسبت به سایر حلال‌ها، این حلal انتخاب شد. همان‌طور که قبل اشاره شد، یکی از اهداف محوری تحقیق تهییه پوشش آب‌گریز با قابلیت مقیاس پالا^۴ در پوشش دهی سطح وسیع بوده که یکی از ارکان تحقق این هدف، فرضیه استفاده از مواد در دسترس و با هزینه تأمین کمتر در مقیاس صنعتی بوده است. از طرف دیگر، نوع نانوذرات مورد استفاده از نانومواد تجاری محسوب شده و در ساخت پوشش‌های آب‌گریز بسیار مورد استفاده قرار گرفته است. از

¹ Ethylene Vinyl Acetate (EVA)

² Thyssen

³ Matrix

⁴ Scale up

⁵ Dispersed

لیفشتیز-ون در والز و جزء قطبی شامل مؤلفه‌ی اسیدی لوثیوس و مؤلفه‌ی بازی لوثیوس است مطابق با رابطه زیر است [22]:

$$(\gamma_{LA} (1 + \cos \theta) = 2[(\gamma_{LA}^P \gamma_{SA}^P)^{1/2} + (\gamma_{LA}^- \gamma_{SA}^-)^{1/2}]] \quad (3)$$

جدول ۲ پیوندهای مربوط به هر قله در طیف FT-IR [23]

Table 2 Bonds correlated to the FTIR spectrum peaks [23]

عدد موج (cm ⁻¹)	پیوند
800	ارتعاش کشنی پیوندهای Si-N
850	ارتعاش کشنی پیوندهای Si-C
1020	ارتعاش کشنی پیوندهای C-O
1078	ارتعاش کشنی نامتقارن پیوندهای Si-O
1242	ارتعاش کشنی پیوندهای C-O-C
1369	ارتعاش خمثی گروههای -CH ₃
1461	ارتعاش گهواره‌ای C-H در گروههای CH ₂ ⁻
1735	ارتعاش کشنی متقارن پیوندهای C=O
2854	ارتعاش کشنی متقارن پیوندهای C-H در گروه CH ₂
2923	ارتعاش کشنی نامتقارن پیوندهای C-H در گروه CH ₂

4-2- مشخصه‌یابی پوشش‌های نانوکامپوزیت

به منظور بررسی پیوندها و گروههای عاملی پوشش‌های نانوکامپوزیتی تهیه شده از آنالیز طیفسنجی مادون قرمز تبدیل فوریه⁷ استفاده شد. به منظور بررسی خواص مورفلوژی و ساختار سطح پوشش‌ها و تخلخل سطح از آزمون FE-SEM QUANTA FEG (SEM) مدل FESEM کترون روبشی (SEM) (USA) 450 استفاده شد. به منظور جلوگیری از تجمع الکترونی سطح نمونه‌ها با ذرات طلا پوشش داده شد. به منظور ارزیابی زاویه تماس آب و تخمین آب‌گردی پوشش‌های تهیه شده از دستگاه گیری زاویه تماس در این بخش توضیح داده شده است.

3- نتایج و بحث

3-1- تحلیل FT-IR نمونه‌های نانوکامپوزیت اتیلن وینیل استات/نانوسیلیکا طیف‌های FT-IR مربوط به نمونه‌های اتیلن وینیل استات فاقد و حاوی درصدهای مختلف نانوسیلیکا در شکل ۱ و پیوندهای مرتبط با قله‌های مشخصه در طیف FTIR در جدول ۲ [24, 23] نشان داده است. با توجه به نتایج آزمون، وجود پیوندهای C=O، C-O، C-H و C=C در ساختار اتیلن وینیل استات و همچنین پیوندهای C-Si-N، Si-C و C-H قابل مشاهده است. همچنین، با توجه به نتایج در طیف اتیلن وینیل استات قله‌های قابل مشاهده در اعداد موج cm⁻¹ 2854 تا 2923 مربوط به ترتیب مرتباً به ارتعاش کشنی متقارن و نامتقارن پیوندهای C-H و قله واقع شده در عدد موج حدود 1369 cm⁻¹ مربوط به ارتعاش خمثی پیوندهای C-H در گروههای CH₃ (انتهای زنجیره‌های پلیمری) می‌باشد [25, 24]. همچنین ارتعاش گهواره‌ای مربوط به پیوندهای C-H در گروههای CH₂ (وسط زنجیره‌های پلیمری) در 1461 cm⁻¹ قله جذبی نشان داده است [23]. وجود

دیگر، اهمیت دیگر روش‌های محاسباتی و تحلیلی در تعیین انرژی سطح مواد ناشناخته‌تر به عنوان مثال در انتخاب زوج مؤلفه‌های کامپوزیتی در میکرو/نانوکامپوزیت‌ها و بررسی آب‌گردی آن با مکانیزم‌های تقویت‌کنندگی فازهای افرودنی است. سطوح مواد جامد را می‌توان به دو دسته‌ی سطوح با انرژی سطح بالا و پایین می‌توان تقسیم کرد [20]. تا به امروز، متداول ترین روش برای تعیین انرژی سطح بر اساس اندازه‌گیری زاویه تماس است. هنگامی که برای یک مایع واحد (به طور معمول آب) اندازه‌گیری می‌شود، زاویه تماس اندازه‌گیری شده میزان آب‌گردی یا عدم آب‌گردی سطح را نشان می‌دهد. کشش سطحی مقدار انرژی یا کار لازم بر واحد سطح برای افزایش مساحت سطح یک مایع می‌باشد به صورتی که بتوان بر نیروهای بین مولکولی مایع غلبه کرد. البته کشش سطحی را می‌توان نیرو بر واحد طول نیز تعریف کرد. کشش سطحی را غالباً با γ نشان می‌دهند و واحد آن به صورت نیرو بر واحد طول N/m و یا انرژی بر واحد سطح J/m² تعریف می‌گردد. برای تعریف دقیق‌تر، اصطلاح تنش بین سطحی¹ مربوط به مزه‌های فاز مایع/مایع و مایع/جامد می‌باشد. برای حالت مایع/غاز به تنش سطح² و برای حالت جامد/غاز به انرژی آزاد سطح³ اشاره می‌شود. سه مدل مختلف سطوح آب‌گردی بر مبنای هیسترزیس زاویه تماس در این بخش توضیح داده شده است.

برای تعاملات خاص (قطبی) بین سطوح جامد و مایع از تئوری اوونز/وندت⁴ استفاده می‌شود که این تئوری انرژی سطح جامد را به دو قسمت قطبی و غیر قطبی تقسیم می‌کند، جز غیر قطبی شامل پیوندهای واندروالسی و جز قطبی شامل پیوندهای دوقطبی-دوقطبی و دوقطبی-دوقطبی القایی و پیوندهای هیدروژنی می‌باشد. از لحاظ ریاضی، این تئوری بر دو معادله اساسی گودز و یانگ بنا شده است که تعامل بین سطوح جامد و مایعات را توصیف می‌کند که معادله آن به شرح زیر است [20]:

$$\left(\frac{\gamma_{LA}(\cos \theta + 1)}{2(\gamma_{SA}^D)^{1/2}} = (\gamma_{SA}^P)^{1/2} \frac{(\gamma_{LA}^P)^{1/2}}{(\gamma_{LA}^D)^{1/2}} + (\gamma_{SA}^D)^{1/2} \right) \quad (1)$$

برای محاسبه انرژی سطح جامد، لازم است اطلاعات زاویه تماس چند مایع بر روی سطح جامد به دست آورده شود [21]. اگرچه تئوری اوونز/وندت برای سطوح با قطبیت متوسط بسیار خوب عمل می‌کند، اما به دلیل نیاز آن استفاده از مایعات متعدد برای آزمایش و همچنین انتخاب این مایعات توسط آزمایشگر نامناسب است. نظریه فوکس⁵ انرژی سطح جامد را به دو قسمت قطبی و غیر قطبی تقسیم می‌کند. در حقیقت، نظریه فوکس از نظر ریاضی معادل تئوری اوونز/وندت است. با این حال، مبنای آن تا حدودی متفاوت است [8]. نظریه فوکس نشان می‌دهد که انرژی چسبندگی میان جامد و مایع را می‌توان به تعاملات بین بخش قطبی و غیر قطبی تقسیم کرد. معادله ۲ نشان دهنده تئوری فوکس می‌باشد [36].

$$\left((\gamma_{LA}^D)^{1/2} (\gamma_{SA}^D)^{1/2} + (\gamma_{LA}^P)^{1/2} (\gamma_{SA}^P)^{1/2} = \frac{\gamma_{LA}(\cos \theta + 1)}{2} \right) \quad (2)$$

در این تحقیق از تئوری ون اووس⁶ نیز استفاده شد که بر اساس این تئوری انرژی سطح جامدات به سه جزء تقسیم شده که شامل مؤلفه‌ی غیر قطبی

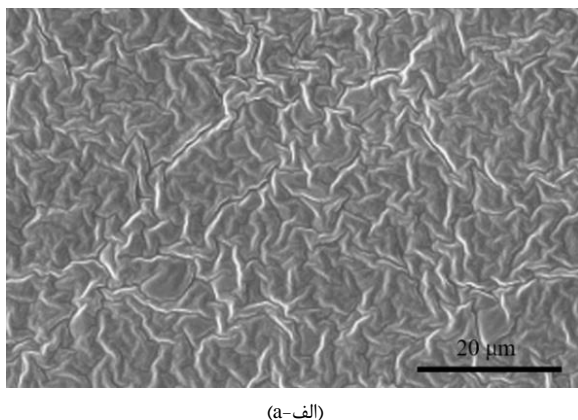
¹ Interfacial tension (IFT)

² Surface tension

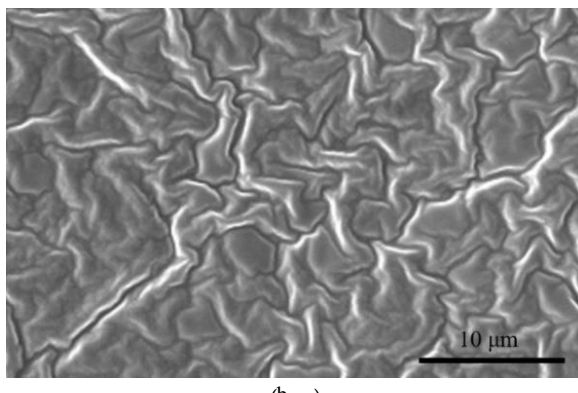
³ Surface free energy

⁴ Owens-Wendt

زاویه غلتش بالایی داشته باشد که این مسأله در آزمون زاویه تماس در ادامه این تحقیق بررسی شده و تأیید گردید.



(الف)



(ب)

Fig. 2 SEM images of pure EVA specimens in (a) 5000 and (b) 10000 magnifications

شکل 2 تصاویر SEM سطح نمونه EVA-Pure در (الف) بزرگنمایی 5000 و (ب) 1000 برابر

در تصاویر SEM شکل 3 وجود نانوذرات سیلیکا که به صورت ذرات سفید رنگ می‌باشند در شکل نمایش داده شده است. با وجود اضافه شدن نانو مواد به پوشش، سطح پوشش صاف می‌باشد و نتیجه این پدیده در آزمون زاویه تماس نیز مشخص است.

نتایج نشان می‌دهد با وجود افزودن نانوذرات ترکیب شیمیایی سطح تغییر کرده و بهبود زاویه تماس استاتیکی زاویه غلتش هنوز بالا می‌باشد که میین حالت اشیاع کیسی می‌باشد، چرا که غلظت نانوذرات هنوز به مقدار کافی بالا نرفته و منجر به نفوذ کم قدرات آب به طور کامل در بین میکروزبریها و در میان نانوزبریها شده که خود منجر به افزایش هیسترزیس زاویه تماس و افزایش زاویه غلتش می‌شود. دلیل عدم تشکیل ساختار حفره‌ای با وجود افزودن نانو مواد را می‌توان به غلظت کم نانو مواد نسبت داد. تصاویر میکروساختار SEM در شکل 4 نشان می‌دهد با افزودن درصد بیشتری از نانومواد پدیده جدایش فازی رخ می‌دهد و ساختار حفره‌ای تشکیل می‌شود. با افزودن نانو مواد، این فرآیند به دلیل نقش تشکیل هسته نانوذرات تسريع می‌شود. در جریان جداسازی فاز، فاز پلیمر به نواحی غنی از پلیمر(حلال ضعیف) و فقیر-پلیمر (غنی از حلال) جدا می‌شود. سپس، آن مناطق با حلal غنی به دلیل تبخیر سریع مولکول‌های حلال که نتیجه تکنیک پاشش است، از بین می‌روند.^[29, 28]

این قله‌ها در طیف اتیلن وینیل استات تأثیرگذرنده حضور تعداد زیادی پیوند C-H در ساختار این ماده است. همچنین وجود دو قله جذبی در 1735 cm^{-1} و 1020 cm^{-1} به ترتیب مؤید وجود پیوندهای C=O و C-O-C موجود در ساختار رزین 1242 cm^{-1} قله جذبی نشان داده شده است^[23, 26]. بنابراین وجود این قله‌ها در طیف FT-IR مربوط مؤید وجود ساختار اتیلن وینیل استات می‌باشد. با افزودن عامل سیلیکا به سیستم، برخی قله‌های جدید در ساختار ماده پدید آمده که شدت این قله‌ها با افزودن درصد این عامل تشدید شده است. مطابق با شکل 1، قله‌های جدید پدیدار شده در عدد موج‌های 800 cm^{-1} و 850 cm^{-1} و 1078 cm^{-1} به ترتیب مربوط به ارتعاش کششی پیوندهای Si-Si و Si-O و Si-C، N می‌باشد^[24, 27]. پیوندهای Si-N که قله آن‌ها در طیف IR مشخص است، در ساختار هگرگرا متیل دی سیلان زان قابل مشاهده باشد و بنابراین افزایش شدت قله مربوط به این دو پیوند با افزایش درصد عامل سیلیسیم دار قابل توجیه می‌باشد.

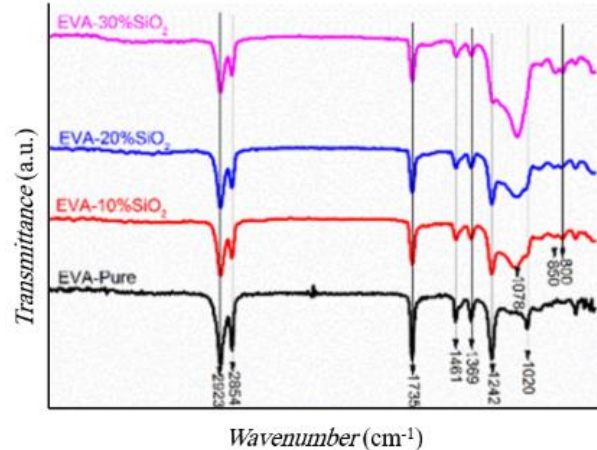


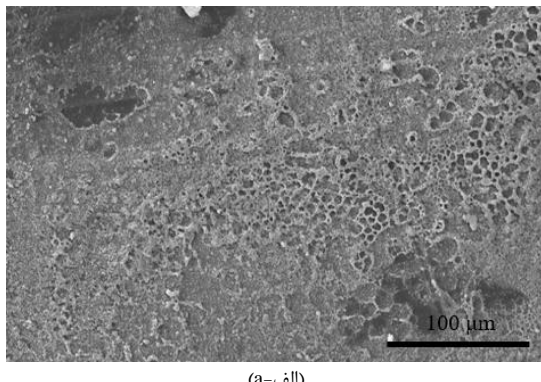
Fig. 1 طیف‌های FT-IR نمونه‌های اتیلن وینیل استات بر حسب درصد ماده مختلف نانوسیلیکا

تشدید شدت قله مربوط به پیوند Si-O با افزایش درصد عامل سیلیسیم دار در طیف‌های مربوط قابل توجیه است چرا که هرچقدر غلظت این ماده در رزین افزایش باید، لازم است تعداد پیوندهای بین این ماده و رزین نیز بیشتر شود که خود میین افزایش پیوندهای اتصالی بین عامل سیلیکا و رزین و افزایش برهم‌کنش‌های سطح دو فاز زمینه و سیلیکا است.

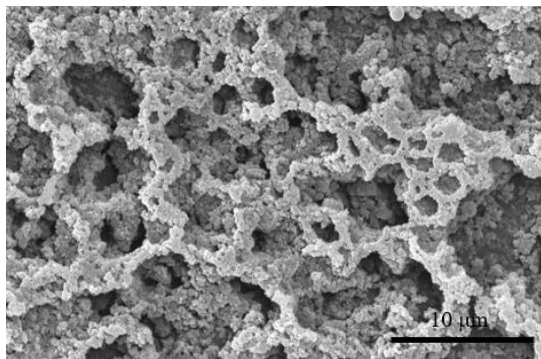
3-2-3- مورفولوژی و میکروساختار پوشش‌های نانوکامپوزیت
شکل 2 تصاویر SEM نمونه EVA-Pure (نام نمونه) را در دو بزرگنمایی نشان می‌دهد. مشاهده می‌شود که سطح از بخش‌های مجرزا از هم تشکیل شده است که این پدیده را می‌توان به دوبلوکی بودن کوپلیمر نسبت داد چرا که پلیمر مورد استفاده از یک قسمت قطبی و از یک قسمت غیر قطبی تشکیل شده است. سطوح مجرزا از هم الزاماً به معنای جدایش فازی کومونومری موجود در EVA نبوده، بلکه در مقیاس نمایش داده شده توسط تصاویر میکروسکوپی SEM سطح پوشش داده شده تنها به دلیل پیدایش مرزهای غنی از حلال پیرامون مناطق غنی از پلیمر بهطور مقطع¹ شکل گرفته است. این سطح کاملاً صاف و یکنواخت بوده و به همین دلیل انتظار می‌رود که زاویه تماس کم و

¹ Segmental

تصویر مورفولوژی SEM در شکل ۵ به خوبی نشان دهد با افزودن ۳۰٪ وزنی سیلیکا به نمونه ساختار سطح به سمت یک حالت شبکه‌ای می‌رود که این پدیده ناشی از فرایند جداسازی فاز می‌باشد. از دست دادن حلal در فصل مشترک نمونه‌ها منجر به تغییر ناهمگن غلظت حلal در نمونه شده [۳۰] و زمانی که غلظت حلal به مقدار بحرانی می‌رسد جدایش فاز ابتدا در محل تماس نمونه‌ها رخ می‌دهد که این کاهش سریع غلظت حلal منجر به جدایش فاز و در نتیجه تشکیل مناطق غنی از پلیمر و فقیر پلیمر می‌شود که در نهایت باعث شکل‌گیری ساختار شبکه‌ای می‌شود. در بعضی از نقاط نانوذرات بیشتر جمع (کلوخه‌ای)^۱ شده‌اند که حاکی از تجمع غیر یکنواخت نانوذرات دارد [۳۱]. جهت بررسی دقیق‌تر تغییر اندازه تخلخل‌های شبکه با تغییر مقدار نانوذرات از نرم‌افزار پردازش تصویر Image J استفاده شده و توزیع اندازه حفرات در تصاویر مربوط به بزرگنمایی ۲۵۰۰ برابر شکل ۶ مطابق با نتایج میکروساختار آنالیز SEM برای نمونه‌های EVA-%30SiO₂ و EVA-%20SiO₂ اندازه‌گیری شده است.



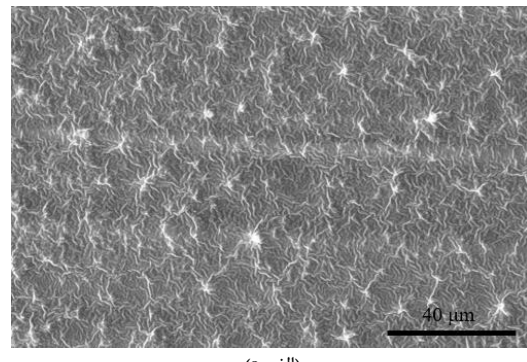
(الف)



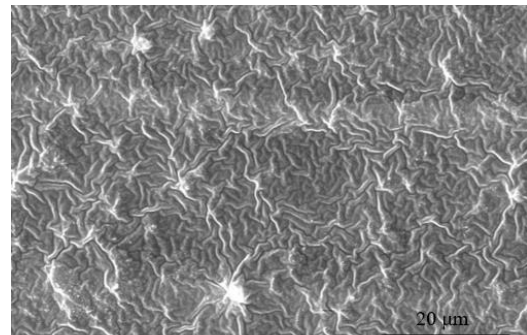
(ب)

Fig. 5 SEM images of EVA-%30 SiO₂ specimens in (a) 1000 and (b) 2500 magnification**شکل ۵** تصاویر SEM نمونه EVA-%30 SiO₂ در (الف) بزرگنمایی ۱۰۰۰ و (ب) ۱۰۰۰۰ برابر

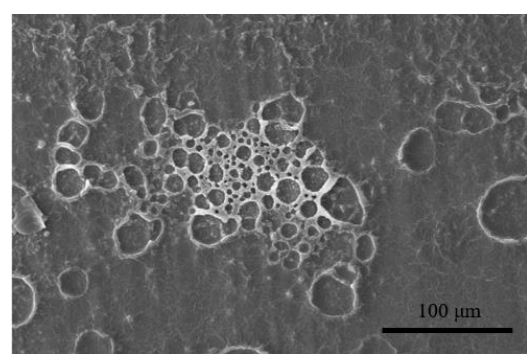
هیستوگرام توزیع اندازه تخلخل مربوط به این دو نمونه در شکل ۷ (الف) و (ب) نمایش داده شده است. همان‌گونه که از شکل ۷ مشخص است، بیشترین تعداد اندازه حفرات در نمونه حاوی ۲۰٪ نانوذره بین ۶ تا ۸ میکرومتر بوده است در حالی که در نمونه حاوی ۳۰٪ نانوذرات بیشترین تعداد حفرات در محدوده ۲ تا ۳ میکرومتر بوده است. همچنین توزیع اندازه حفرات در نمونه حاوی ۲۰٪ نانوذره نسبت به نمونه دیگر نرمال‌تر است. داده‌های آماری مستخرج از این اندازه‌گیری در جدول ۳ گزارش شده است.



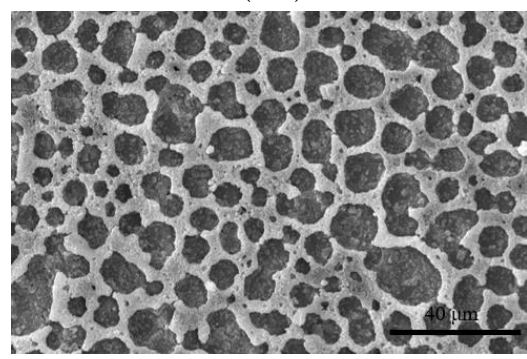
(الف)



(ب)

Fig. 3 SEM images of EVA-%10 SiO₂ specimens in (a) 2500 and (b) 5000 magnifications**شکل ۳** تصاویر SEM نمونه EVA-%10 SiO₂ در (الف) بزرگنمایی ۲۵۰۰ و (ب) ۵۰۰۰ برابر

(الف)



(ب)

Fig. 4 SEM images of EVA-%20 SiO₂ specimens in (a) 1000 and (b) 2500 magnification**شکل ۴** تصاویر SEM نمونه EVA-%20 SiO₂ در (الف) بزرگنمایی ۱۰۰۰ و (ب) ۲۵۰۰ برابر^۱ Agglomerated

جدول ۳ داده‌های آماری حاصل از اندازه‌گیری توزیع اندازه حفرات حاصل از نمونه‌های حاوی ۲۰٪ و ۳۰٪ نانوسیلیکا

Table 3 Statistical information in the pore size distribution obtained from specimens loaded with 20 wt% and 30 wt% of nano-silica

نمونه	حفره (μm)	اندازه بزرگترین حفره (μm)	اندازه کوچکترین حفره (μm)	میانگین (μm)
EVA-%20 SiO ₂	18.98	2.21	9.1	
EVA-%30 SiO ₂	7.7	1.52	3.26	

مطابق با جدول ۳ مشاهده می‌شود که اندازه میانگین حفرات در نمونه حاوی ۲۰٪ نانوذره حدود ۳ برابر از قطر حفرات نمونه حاوی ۳۰٪ نانوذره بزرگ‌تر است و این مسأله قبلاً نیز توسط کیم و همکارانش گزارش شده است[26]. همچنین در این جدول اختلاف بین کوچکترین و بزرگ‌ترین حفرات موجود در دو نمونه مورد مطالعه قابل توجه بوده و بیشتر بودن این پارامترها در نمونه حاوی ۲۰٪ نانوذره نسبت به نمونه حاوی ۳۰٪ نانوذره مشهود است. وقتی نانوذرات افزوده می‌شوند به دلیل نقش تشکیل هسته، فرایند حفره حفره شدن سطح بهتر اتفاق می‌افتد. همچنین مشخص شد که افزودن نانوذرات منجر به تبخیر سریع‌تر از حلal می‌شود و بنابراین، در حضور نانوذرات، این پوشش با سرعت بیشتری خشک می‌شود. مشاهدات نشان می‌دهد، با افزایش محتوای سیلیس، روند خشک شدن تسریع شده که منجر به تشکیل منفذ کوچک‌تر در سطح پوشش می‌شود. نمونه با ۴۰٪ نانوذره تمام سطح پوشیده شده از نانوذره می‌باشد. این پدیده ناشی از نسبت سطح زیاد نانو مواد نسبت به پلیمر بوده زیرا پلیمر قابلیت ترکیندگی کافی برای نانوذرات را نداشته و عملاً ساختار حفره‌ای نیز تشکیل نشده است.

3-3 زاویه تماس استاتیکی

نتایج حاصل از اندازه‌گیری زاویه تماس در جدول ۴ ذکر شده است. زوایای گزارش شده میانگین ۳ اندازه‌گیری متوالی در ۳ ناحیه متفاوت از سطح هر پوشش می‌باشد. نتایج به خوبی نشان می‌دهد افزودن نانوذرات منجر به ایجاد سطوح آب‌گردی‌تر شده و مقدار آن در درصد وزنی ۳۰٪ نانوسیلیکا به حداقل می‌رسد. یکی دیگر از معیارهای مرتبط با آب‌گردی سطوح زاویه غلتش است که برای نمونه‌ها اندازه‌گیری شده و در جدول ۵ نشان داده شده است. محاسبه زاویه غلتش بر مبنای مرجع [32] می‌باشد. همان‌طور که ملاحظه می‌شود با افزایش درصد نانوذرات اصلاح شده زاویه تماس آب‌گردی غلتش کاهش می‌باید و بیشترین زاویه تماس و کمترین زاویه غلتش مربوط به نمونه EVA-%30 SiO₂ می‌باشد که این نتایج حاصل زیری و ترکیب شیمیایی سطح وزنی نانوسیلیکا در مقایسه با پوشش مرجع (اتیلن وینیل استات خالص) است که مقدار عددی آن در جدول ۴ گزارش شده است.

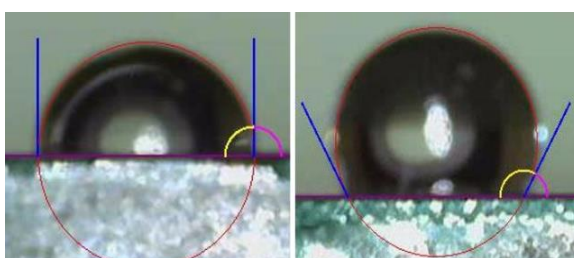
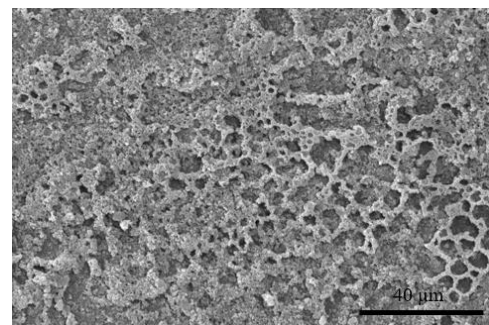
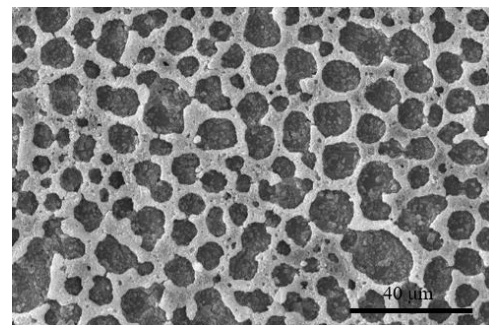


Fig.8 Contact angle of pure EVA and 30 wt% nano-silica filled specimens

شکل ۸ زاویه تماس نمونه‌های پلی‌اتیلن استات خالص و نمونه پر شده با ۳۰٪ وزنی نانوسیلیکا



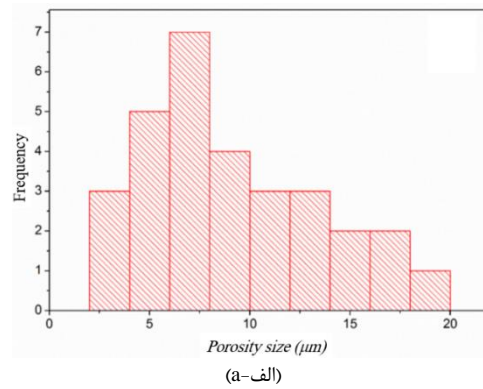
(الف)



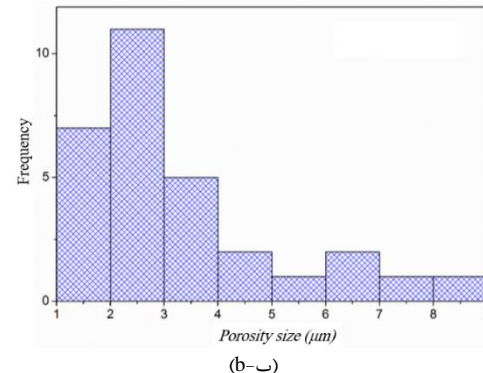
(ب)

Fig. 6 SEM images of SiO₂/EVA nanocomposites in 2500 magnification in specimens filled with (a) 20% and (b) 30% of nano-silica

شکل ۶ تصاویر SEM نانوکامپوزیت‌های پلی‌اتیلن استات‌نانوسیلیکا در بزرگنمایی ۲۵۰۰ برابر جهت بررسی توزیع اندازه حفرات در دو نمونه (الف) حاوی ۲۰٪ و (ب) حاوی ۳۰٪ نانوسیلیکا



(الف)



(ب)

Fig.7 هیستوگرام توزیع اندازه حفرات نانوکامپوزیت‌های (الف) حاوی ۲۰٪ و (ب) حاوی ۳۰٪ نانوسیلیکا

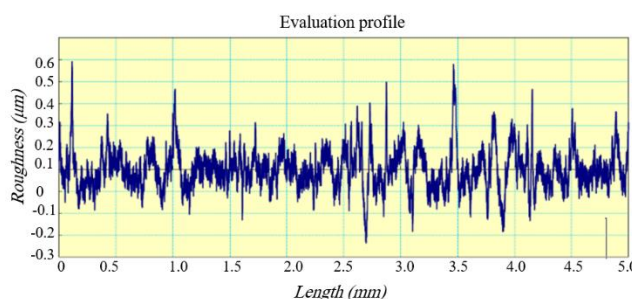


Fig.9 Surface roughness profile of EVA-pure specimens
EVA-Pure

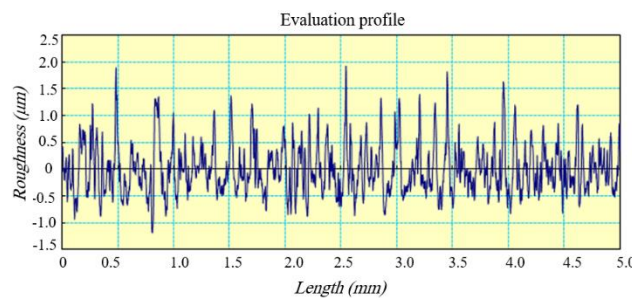


Fig.10 Surface roughness profile of EVA-% 10 SiO₂ specimens
EVA-% 10 SiO₂

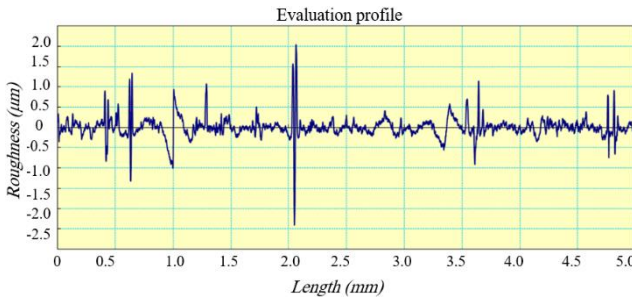


Fig.11 Surface roughness profile of EVA-% 20 SiO₂ specimens
EVA-% 20 SiO₂

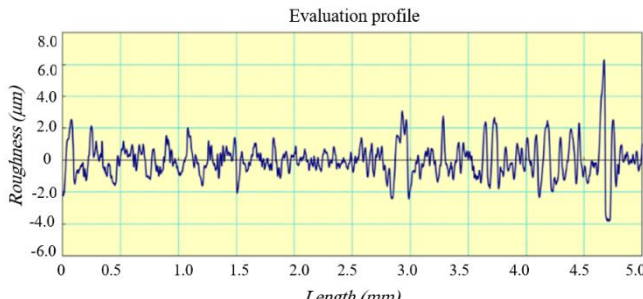


Fig.12 Surface roughness profile of EVA-% 30 SiO₂ specimens
EVA-% 30 SiO₂

جدول 7 پارامترهای زبری نمونه‌های نانوکامپوزیتی پر شده با نانوسیلیکا

Table 7 Roughness parameters of nanocomposite specimens filled with nano-silica

	EVA-Pure	EVA-% 10SiO₂	EVA-% 20SiO₂	EVA-% 30SiO₂
Ra (μm)	0.069	0.151	0.363	0.768
Rq (μm)	0.092	0.259	0.466	1.071
Rsk (μm)	0.726	0.310	0.818	0.703

جدول 4 زاویه تماس استاتیکی با آب بر روی پوشش‌های نانوکامپوزیتی

Table 4 Static contact angle using water droplet on the nanocomposite coatings

زاویه تماس (θ)	نمونه
90.1	Pure-EVA
97.5	EVA-% 10 SiO₂
103.5	EVA-% 20 SiO₂
121.32	EVA-% 30 SiO₂

جدول 5 زاویه غلتش آب بر روی نمونه‌ها با پوشش‌های نانوکامپوزیتی

Table 5 Sliding angle obtained from nanocomposite coatings

زاویه غلتش	نمونه‌ها
بدون غلتش	Pure-EVA
85	EVA-% 10 SiO₂
20	EVA-% 20 SiO₂
8	EVA-% 30 SiO₂

مطابق با تحقیقات دیگر، استفاده از مقدارهای بالای نانوذرات به دلیل عدم قابلیت پلیمر در نگهداری نانوذرات در فیلم پلیمری امکان‌پذیر نمی‌باشد. با توجه به شکل 5 لایه سطحی با نانوذرات پوشیده شده است که همین مسئله موجب کاهش انرژی سطح و آب‌گردی نمونه شده است که این بهبود آب‌گردی را می‌توان به تجمع نانو مواد نسبت داد که همین پدیده توسعه ایمان حجازی و همکاران گزارش شده است [33]. در نمونه‌های EVA-% 10 SiO₂ با وجود افزودن نانو مواد، زاویه غلتش افزایش یافته و این

حال مطابق با پیش‌بینی مدل اشباع کیسی است چرا که غلظت نانو مواد به حد کافی نبوده و قطره به درون میکروزبری‌ها و به مقدار کم درون نانوزبری‌ها نفوذ کرده و موجب می‌شود تا زاویه غلتش افزاش یابد.

برای اندازه‌گیری انرژی آزاد سطح پوشش‌ها از داده‌های شرکت کروس استفاده شده است. لازم به ذکر است کشش سطح مایعات استفاده شده در آزمون زاویه تماس، با روش قطره آویزان اندازه گرفته شده که در تطابق با مقادیر گزارش شده در [34] می‌باشد. در این تحقیق، از زاویه تماس تولوئن، تتراهیدروفوران و سیکلوهگزان بر روی سطوح استفاده شد که نتایج آن در جدول 6 نشان داده شده است.

جدول 6 زاویه تماس مایعات استفاده شده برای اندازه‌گیری انرژی سطح

Table 6 Contact angle of liquids used to measure the surface energy

زاویه تماس (θ)	نمونه	تولوئن	سیکلوهگزان	ترتاہیدروفوران
26	Pure-EVA	32.66	43.17	
30.35	EVA-% 10 SiO₂	36.27	59.75	
31.39	EVA-% 20 SiO₂	36.1	52.08	
27.42	EVA-% 30 SiO₂	21.94	42.18	

3-4- زبری سطح پوشش نانوکامپوزیت پلی‌اتیلن استات/نانوسیلیکا

در میان پارامترهای موجود برای اندازه‌گیری زبری سطح پوشش نانوکامپوزیت پلی‌اتیلن استات/نانوسیلیکا زبری متوسط (Ra) و جذر متوسط مربع (Rq) بیشتر مورد بررسی قرار می‌گیرند [35]. زبری سطح نمونه‌ها در یک طول 5 میلی‌متر اندازه‌گیری شده است. در شکل‌های 9 الی 12 پروفایل زبری سطح نمونه‌ها ارائه شده است. در جدول 7 مقادیر Rq، Ra و Rsk مشاهده می‌شود که با افزایش درصد نانو مواد زبری سطح افزایش می‌یابد و این زبری ایجاد شده تأثیر مستقیمی بر روی زاویه غلتش دارد و با افزایش زبری سطح زاویه غلتش افزایش می‌یابد.

جدول 11 قسمت قطبی انرژی آزاد سطح محاسبه شده را نشان داده که مجموع جزء بازی و اسیدی است و با افزایش نانو مواد افزایش پیدا کرده است. این نتایج در تقابل با دو نتیجه افزایش قبلی بوده چرا که با افزایش نانو مواد قسمت قطبی انرژی آزاد سطح باید کاهش پیدا کرده و دلیل این مسأله افزایش زاویه تماس استاتیکی آب می‌باشد. در نتیجه این تئوری توانایی لازم برای تخمین انرژی آزاد سطح این پوشش را ندارد. تصور می‌گردد فرض‌های در نظر نگرفته شده در توسعه تئوری ون اووس حساسیت بیشتری به نوع مواد مورد استفاده و خصوصیت فیزیکی-شیمیایی آنها داشته که در برخی از سامانه‌های نانوکامپوزیتی فرض‌های ترمودینامیکی مدل مذکور نقض می‌گردد. یکی از این موارد، کیفیت برهم‌کنش‌های فاز پرکننده/پلیمر یا فاز میانی در سطح مشترک پرکننده و پلیمر است که دارای خصوصیات فیزیکی و ساختاری متفاوت از پلیمر فاز زمینه است که مدل به عنوان فاز سوم در نظر نگرفته است. این امر به ویژه در نانوکامپوزیت‌ها به سبب سطح ویره بالای نانومواد قابل توجه است. همچنین، علاوه بر خصوصیات ترمودینامیکی سطح و سطح‌امایع مورد آزمایش، هندسه سطوح (پستی و بندي مقیاس میکرو/اتانو) نیز می‌تواند باعث تفاوت در فرض‌های مدل و شرایط واقعی عملکردی پوشش گردد.

جدول 11 اجزای مختلف انرژی آزاد سطح با تئوری ون اووس

Table 11 The surface energy components based on the Van Oss theory

	γ_{SA}	γ_{SA}^D	γ_{SA}^P	γ_{SA}^-
Pure-EVA	26.6	19.1	7.54	0.02
EVA-% 10 SiO ₂	24.6	14.4	9.8	0.4
EVA-% 20 SiO ₂	26.8	16.6	8.3	1.9
EVA-% 30 SiO ₂	40.5	19.3	7.2	14.0

4- نتیجه‌گیری

در این مطالعه، پوشش‌های نانوکامپوزیتی پایه اتیلن وینیل استات پر شده با صفر تا ۰.۳۰ وزنی نانوذرات سیلیکا در حالت اصلاح شده با هگزامتیل دی سیلیزان از روش حلال و با غلظت بهینه ۰.۳٪ پلیمر در تولوفن به عنوان حلal با توجیه صرفه اقتصادی به منظور بررسی خواص آب‌گریزی و انرژی سطح پوشش‌ها ساخته شد. خواص میکروساختار نشان داد نمونه اتیلن وینیل استات خالص نشان دارای سطحی صاف می‌باشد که مطابق با آزمون زاویه غلتش و زاویه تماس استاتیکی بود. نتایج نشان داد نمونه پر شده با ۳۰ درصد سیلیکا دارای حرفره‌ها با اندازه بهینه نسبت به دیگر پوشش‌های نانوکامپوزیتی بوده که منجر به افزایش زاویه تماس به مقدار ۱۲۱ درجه با ۰.۳۴٪ افزایش نسبت به سطح اتیلن وینیل استات خالص شد. آزمایش‌ها نشان داد افزایش درصد نانو مواد منجر به بهبود زبری سطح و درنتیجه کاهش زاویه غلتش شده بطوریکه پوشش حاوی ۳۰ درصد وزنی نانوسیلیکا منجر به کاهش زاویه غلتش به ۸ درجه با ۰.۹۰٪ کاهش نسبت به نمونه‌های ۱۰ درصد وزنی شد. این نتایج به زیر قابل توجه در پوشش ۱۰ درصد وزنی و سطح حرفره‌ای در اثر جدایش فاز در نمونه ۲۰ درصد مرتبط شد. محاسبه انرژی آزاد سطح با استفاده از سه تئوری اوونزوند، فوکس و ون اووس انجام شد و نشان داده شد که در تئوری‌های اوونزوند و فوکس جزء قطبی انرژی آزاد سطح با افزودن نانو مواد کاهش یافت که این مسأله با نتایج آزمون زاویه تماس مطابقت داشت. با این وجود تئوری ون اووس افزایش جزء قطبی انرژی سطح را پیش‌بینی کرده که این نتایج مغایر با نتایج آزمون زاویه تماس بوده که می‌تواند مرتبط با تفاوت در فرض‌های تئوری با شرایط پوشش‌های تهیه شده از جمله برهم‌کنش‌های بین نانوسیلیکا/EVA در سطح مشترک باشد.

پارامتر دیگر زبری کجی (Rsk) است که برای تعیین تقارن مشخصات زبری در مورد خط متوسط استفاده می‌شود. نشان می‌دهد در نمونه‌های EVA- SiO₂-۱۰٪ و EVA-۳۰٪ با افزایش درصد نانو مواد، Rsk نسبت به نمونه خالص بیشتر کاهش یافته و این کاهش می‌تواند منجر به آب‌گریزی بیشتر سطح شود [33].

5- مقادیر مؤلفه‌های انرژی آزاد سطح

همان‌طور که قبلاً بیان شد، در این تحقیق با استفاده از سه تئوری اوونزوند، فوکس و ون اووس ارزی سطح محاسبه شده است. برای محاسبه انرژی سطح اجزای متفاوتی از کشش سطح مایعات باید مشخص شده باشند که به همین منظور از داده‌های شرکت کروس استفاده شده است [34]. برای استفاده از تئوری اوونزوند از مایعات جدول ۸ و اطلاعات زاویه تماس جدول‌های ۴ و ۶ استفاده شده است. با استفاده از رابطه ۱ مقادیر محاسبه شده انرژی آزاد سطح در جدول ۹ ارائه گردیده است.

جدول ۱۸ اجزای مختلف کشش سطح مایعات مورد استفاده [28]

Table 8 The surface tension components of the liquids used

	γ_{LA}	γ_{LA}^D	γ_{LA}^P	مایعات آزمون
72.8	26.4	46.4	آب	
27.4	12.4	15.0	ترتاہیدروفوران	
25.5	25.5	0	سیکلوهگزان	
28.4	26.1	2.3	تولوئن	

جدول ۹ اجزای مختلف انرژی آزاد سطح با تئوری اوونزوند

Table 9 The surface energy components based on the Owens-Wendt theory

	γ_{SA}	γ_{SA}^D	γ_{SA}^P
Pure-EVA	24.9	19.8	5.1
EVA-% 10 SiO ₂	21.5	17.1	4.3
EVA-% 20 SiO ₂	21.7	19.4	2.3
EVA-% 30 SiO ₂	25.0	25.0	0.03

همان‌گونه که از داده‌های جدول ۹ مشخص است با افزایش درصد وزنی نانو مواد قسمت قطبی انرژی آزاد سطح کاهش یافته است و این کاهش در افزایش زاویه تماس استاتیکی آب نقش داشته است چرا که مولکول آب قطبی است و تمايل دارد که با قسمت قطبی انرژی آزاد سطح پيوبند برقرار کند و در نتیجه زاویه تماس مدام بيشتر می‌شود. برای محاسبه انرژی آزاد سطح با استفاده از تئوری فوکس، از اطلاعات زاویه تماس آب و سیکلوهگزان و معادله ۲ استفاده شده است.

همان‌گونه که از جدول ۱۰ مشخص است با افزایش درصد نانو مواد قسمت قطبی انرژی آزاد سطح کاهش یافته است و هر دو تئوری روند کاهشی انرژی آزاد سطح را نشان می‌دهند که مطابق با نتایج آزمون زاویه تماس می‌باشد. برای استفاده از تئوری ون اووس از اطلاعات زاویه تماس آب، سیکلوهگزان و تتراهیدروفوران و همچنین معادله ۳ استفاده شده است.

جدول ۱۰ اجزای مختلف انرژی آزاد سطح با تئوری فوکس

Table 10 The surface energy components based on the Fowkes theory

	γ_{SA}	γ_{SA}^D	γ_{SA}^P
Pure-EVA	23.2	19.1	4.2
EVA-% 10 SiO ₂	17.6	14.4	3.2
EVA-% 20 SiO ₂	17.7	16.6	1.1
EVA-% 30 SiO ₂	19.9	19.3	0.56

Sensing“ Chemical Engineering Journal, Vol. 430, pp. 132989, 2022.

- [14] Padmanabhan, N. T., Thomas, R. M. and John, H., “Antibacterial Self-Cleaning Binary and Ternary Hybrid Photocatalysts of Titanium Dioxide with Silver and Graphene“ Journal of Environmental Chemical Engineering, pp. 107275, 2022.
- [15] Mohammadzadeh, H., Torkian, L. and Daghighi Asli, M., “Synthesis and Preparation of Hydrophobic Silica Nano-Coatings through Sol-Gel-Dipping Method“ Journal of Applied Researches in Chemistry (JARC), Vol. 8, No. 3, pp. -, 2014.
- [16] Shams solaree, L., “Synthesis of Hydrophobic Silica Coatings on Glass by Sol-Gel and Studying Silver Oxide Effect on the Wettability“ Journal of Advanced Materials Technology, Vol. 2, No. 3, pp. 60-68, 2013.
- [17] Davarpanah, J., soleimankhani, s., Soleimani nezhad, E. and Elahi, S., “Synthesis and Characterization of Hydrophobic Coating Materials Based on Alkoxy Silane Compounds“ Applied Chemistry, Vol. 16, No. 58, pp. 199-218, 2021.
- [18] Liu, K., Yao, X. and Jiang, L., “Recent Developments in Bio-Inspired Special Wettability“ Chemical Society Reviews, Vol. 39, No. 8, pp. 3240-3255, 2010.
- [19] Ebert, D. and Bhushan, B., “Wear-Resistant Rose Petal-Effect Surfaces with Superhydrophobicity and High Droplet Adhesion Using Hydrophobic and Hydrophilic Nanoparticles“ Journal of Colloid and Interface Science, Vol. 384, No. 1, pp. 182-188, 2012.
- [20] Rudawska, A. and Jaenicka, E., “Analysis for Determining Surface Free Energy Uncertainty by the Owen-Wendt Method“ International Journal of Adhesion and Adhesives, Vol. 29, No. 4, pp. 451-457, 2009.
- [21] Zhang, Z., Wang, W., Korpacz, A. N., Dufour, C. R., Weiland, Z. J., Lambert, C. R. and Timko, M. T., “Binary Liquid Mixture Contact-Angle Measurements for Precise Estimation of Surface Free Energy“ Langmuir, Vol. 35, No. 38, pp. 12317-12325, 2019.
- [22] Van Oss, C. J., Chaudhury, M. K. and Good, R. J., “Interfacial Lifshitz-Van Der Waals and Polar Interactions in Macroscopic Systems“ Chemical reviews, Vol. 88, No. 6, pp. 927-941, 1988.
- [23] Zhang, W., Yan, W., Pan, R., Guo, W. and Wu, G., “Synthesis of Silane-Grafted Ethylene Vinyl Acetate Copolymer and Its Application to Compatibilize the Blend of Ethylene-Propylene-Diene Copolymer and Silicone Rubber“ Polymer Engineering & Science, Vol. 58, No. 5, pp. 719-728, 2018.
- [24] Khankrua, R., Pongpanit, T., Paneejit, P., Boonmark, R., Seadan, M. and Suttirungwong, S., “Development of Pla/Eva Reactive Blends for Heat-Shrinkable Film“ Polymers, Vol. 11, No. 12, pp. 1925, 2019.
- [25] Parhizkar, N., Shahrabi, T. and Ramezanzadeh, B., “Steel Surface Pre-Treated by an Advance and Eco-Friendly Cerium Oxide Nanofilm Modified by Graphene Oxide Nanosheets; Electrochemical and Adhesion Measurements“ Journal of Alloys and Compounds, Vol. 747, pp. 109-123, 2018.
- [26] Jiang, Z., Hu, C., Easa, S. M., Zheng, X. and Zhang, Y., “Evaluation of Physical, Rheological, and Structural Properties of Vulcanized Eva/Sbs Modified Bitumen“ Journal of Applied Polymer Science, Vol. 134, No. 21, 2017.
- [27] Xiong, J. and Huang, Q., “Crystallization Behavior of Polymer Derived Silicon Carbide Sintered through Microwave Heating Technique“ Journal of Wuhan University of Technology-Mater. Sci. Ed., Vol. 32, No. 6, pp. 1368-1373, 2017.
- [28] Zhang, Z., He, Z., Bi, S. and Asare-Yeboah, K., “Phase Segregation Controlled Semiconductor Crystallization for Organic Thin Film Transistors“ Journal of Science: Advanced Materials and Devices, Vol. 5, No. 2, pp. 151-163, 2020.
- [29] Liu, S., Chu, Y., Tang, C., He, S. and Wu, C., “High-Performance Chlorinated Polyvinyl Chloride Ultrafiltration Membranes Prepared by Compound Additives Regulated Non-Solvent Induced Phase Separation“ Journal of Membrane Science, Vol. 612, pp. 118434, 2020.
- [30] Hopkinson, I. and Myatt, M., “Phase Separation in Ternary Polymer Solutions Induced by Solvent Loss“ Macromolecules, Vol. 35, No. 13, pp. 5153-5160, 2002.

۵- فهرست علائم

انرژی آزاد سطح کل	γ_{SA}
قسمت غیر قطبی انرژی آزاد سطح	γ_{SA}^D
قسمت قطبی انرژی آزاد سطح	γ_{SA}^P
قسمت بازی انرژی آزاد سطح	γ_{SA}^-
قسمت اسیدی انرژی آزاد سطح	γ_{SA}^+

۶- تقدیر و تشکر

با تشکر و قدردانی از آزمایشگاه پلیمر و نانوکامپوزیت- دانشکده مهندسی مکانیک-دانشگاه صنعتی اصفهان به دلیل حمایت تجهیزاتی، مواد مصرفی و علمی در انجام این تحقیق.

۷- مراجع

- [1] Barthlott, W. and Neinhuis, C., “Purity of the Sacred Lotus, or Escape from Contamination in Biological Surfaces“ Planta, Vol. 202, No. 1, pp. 1-8, 1997.
- [2] Wu, Y., Du, J., Liu, G., Ma, D., Jia, F., Klemeš, J. J. and Wang, J., “A Review of Self-Cleaning Technology to Reduce Dust and Ice Accumulation in Photovoltaic Power Generation Using Superhydrophobic Coating“ Renewable Energy, 2021.
- [3] Mazrouei-Sebdani, Z. and Khoddami, A., “A Review on Superhydrophobicity: A Characteristic Property of Textiles“ Journal of Textile Science and Technology, Vol. 3, No. 2, pp. 23-38, 2013.
- [4] Jafar Vardanjani, M., Safavi, M. and Karevan, M., “Design and Characterization of Thermal and Optical Properties of Nano-Composite Self-Cleaning Refractive Transparent-Opaque Smart Window“ Journal of Science and Technology of Composites, Vol. 8, No. 2, pp. 1479-1493, 2021.
- [5] Diaa, M. and Hassabo, A. G., “Self-Cleaning Properties of Cellulosic Fabrics (a Review)“ Biointerf. Res. Appl. Chem, Vol. 12, No. 2, pp. 1847-1855, 2022.
- [6] Martin, S. and Bhushan, B., “Transparent, Wear-Resistant, Superhydrophobic and Superoleophobic Poly(Dimethylsiloxane)(Pdms) Surfaces“ Journal of colloid and interface science, Vol. 488, pp. 118-126, 2017.
- [7] Lei, F., Yang, J., Wu, B., Chen, L., Sun, H., Zhang, H. and Sun, D., “Facile Design and Fabrication of Highly Transparent and Hydrophobic Coatings on Glass with Anti-Scratch Property Via Surface Dewetting“ Progress in Organic Coatings, Vol. 120, pp. 28-35, 2018.
- [8] Nouri, N. M., Saadat Bakhsh, M. and Bagheri, R., “Robust Superhydrophobic Surface with Polytetrafluoroethylene (Ptfe), Micro Sized Aluminum Particles and SiO₂ Nano-Particles“ Modares Mechanical Engineering, Vol. 15, No. 11, pp. 26-32, 2016.
- [9] Wang, J., Wu, Y., Cao, Y., Li, G. and Liao, Y., “Influence of Surface Roughness on Contact Angle Hysteresis and Spreading Work“ Colloid and Polymer Science, Vol. 298, pp. 1107-1112, 2020.
- [10] Harun, M. H., Talib, Z. A., Ibrahim, N. A., Chyi, J. L. Y., Salleh, N. G. N., Alias, M. S., Mohamed, M. and Othman, N., “Characterization of Transparent Hydrophobic Coating with Silica and Graphene Oxide Fillers by Sol-Gel Method“ International Journal of Nanoelectronics & Materials, Vol. 11, No. 3, 2018.
- [11] Zargar Shoushtari, M. and Navazesh, N., “Fabrication of Hydrophilic and Hydrophobic Silica Aerogel by Drying at Ambient Pressure and Their Structural Properties“ Iranian Journal of Physics Research, Vol. 21, No. 1, pp. 111-119, 2021.
- [12] Ershad-Langroudi, A. and Azadi, N., “Effects of Adding Nanosilica on Acrylic and Siloxane Hydrophobic Coatings to Protect Calcite Stones“ Iranian Journal of Polymer Science and Technology, Vol. 32, No. 1, pp. 15-29, 2019.
- [13] Ma, W., Jiang, Z., Lu, T., Xiong, R. and Huang, C., “Lightweight, Elastic and Superhydrophobic Multifunctional Nanofibrous Aerogel for Self-Cleaning, Oil/Water Separation and Pressure

- [31] Zhang, H., Zuo, M., Zhang, X., Shi, X., Yang, L., Sun, S., Zhong, J., Song, Y. and Zheng, Q., "Effect of Agglomeration on the Selective Distribution of Nanoparticles in Binary Polymer Blends" *Composites Part A: Applied Science and Manufacturing*, Vol. 149, pp. 106590, 2021.
- [32] Li, S., Huang, J., Chen, Z., Chen, G. and Lai, Y., "A Review on Special Wettability Textiles: Theoretical Models, Fabrication Technologies and Multifunctional Applications" *Journal of Materials Chemistry A*, Vol. 5, No. 1, pp. 31-55, 2017.
- [33] Hejazi, I., Sadeghi, G. M. M., Seyfi, J., Jafari, S.-H. and Khonakdar, H. A., "Self-Cleaning Behavior in Polyurethane/Silica Coatings Via Formation of a Hierarchical Packed Morphology of Nanoparticles" *Applied Surface Science*, Vol. 368, pp. 216-223, 2016.
- [34] Tuvshindorj, U., Yildirim, A., Ozturk, F. E. and Bayindir, M., "Robust Cassie State of Wetting in Transparent Superhydrophobic Coatings" *ACS applied materials & interfaces*, Vol. 6, No. 12, pp. 9680-9688, 2014.
- [35] Bolvardi, B., Seyfi, J., Hejazi, I., Otadi, M., Khonakdar, H. A., Drechsler, A. and Holzschuh, M., "Assessment of Morphology, Topography and Chemical Composition of Water-Repellent Films Based on Polystyrene/Titanium Dioxide Nanocomposites" *Applied Surface Science*, Vol. 396, pp. 616-624, 2017.